

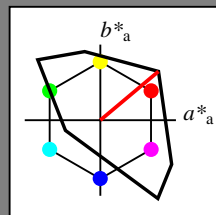
Eingabe: Farbmétrisches Fernseh-Licht-System TLS00

für Buntton  $h^* = lab^*h = 40/360 = 0.111$  $lab^*tch$  und  $lab^*nch$ 

D65: Buntton O

LCH\*Ma: 51 100 40

olv\*Ma: 1.0 0.0 0.0

Dreiecks-Helligkeit  $t^*$ 

%Umfang

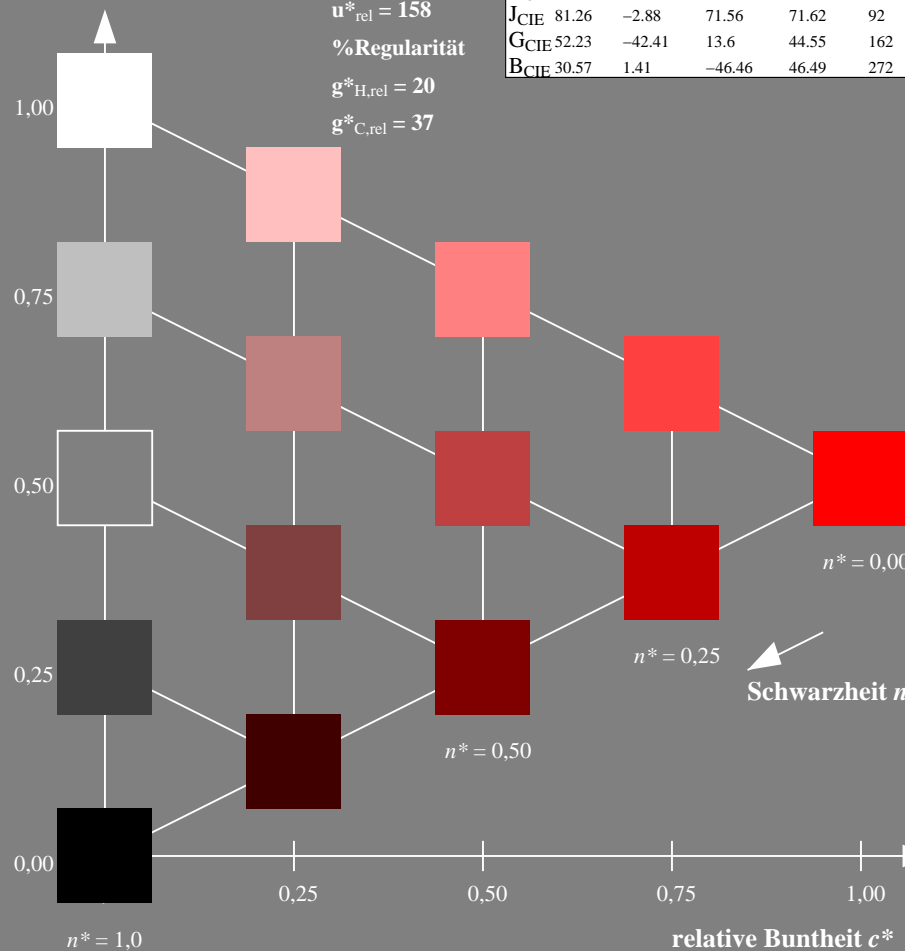
 $u^*_{rel} = 158$ 

%Regularität

 $g^*_{H,rel} = 20$  $g^*_{C,rel} = 37$ 

TLS00; adaptierte CIELAB-Daten

	$L^*=L^*_a$	$a^*_a$	$b^*_a$	$C^*_{ab,a}$	$h^*_{ab,a}$
O <sub>m</sub>	50.5	76.92	64.55	100.42	40
Y <sub>m</sub>	92.66	-20.69	90.75	93.08	103
L <sub>m</sub>	83.63	-82.75	79.9	115.04	136
C <sub>m</sub>	86.88	-46.16	-13.55	48.12	196
V <sub>m</sub>	30.39	76.06	-103.59	128.52	306
M <sub>m</sub>	57.3	94.35	-58.41	110.97	328
N <sub>m</sub>	0.01	0.0	0.0	0.0	0
W <sub>m</sub>	95.41	0.0	0.0	0.0	0
R <sub>CIE</sub>	39.92	58.74	27.99	65.07	25
J <sub>CIE</sub>	81.26	-2.88	71.56	71.62	92
G <sub>CIE</sub>	52.23	-42.41	13.6	44.55	162
B <sub>CIE</sub>	30.57	1.41	-46.46	46.49	272



NG250-7, 5 stufige Reihen für konstanten CIELAB Buntton 40/360 = 0.111 (links)



BAM-Prüfvorlage NG25; Farbmétrik-Systeme ORS18 &amp; ORS18input: olv\* setrgbcolor

D65: Koordinatensysteme; 5stufige Farbreihen für 10 Bunttöne output: Startup (S) data dependend

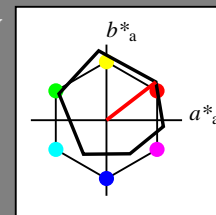
Ausgabe: Farbmétrisches Offset-Reflektiv-System ORS18

für Buntton  $h^* = lab^*h = 38/360 = 0.105$  $LAB^*LCH, LAB^*NCH$ 

D65: Buntton O

LCH\*Ma: 48 83 38

olv\*Ma: 1.0 0.0 0.0

CIELAB-Helligkeit  $L^*$ 

%Umfang

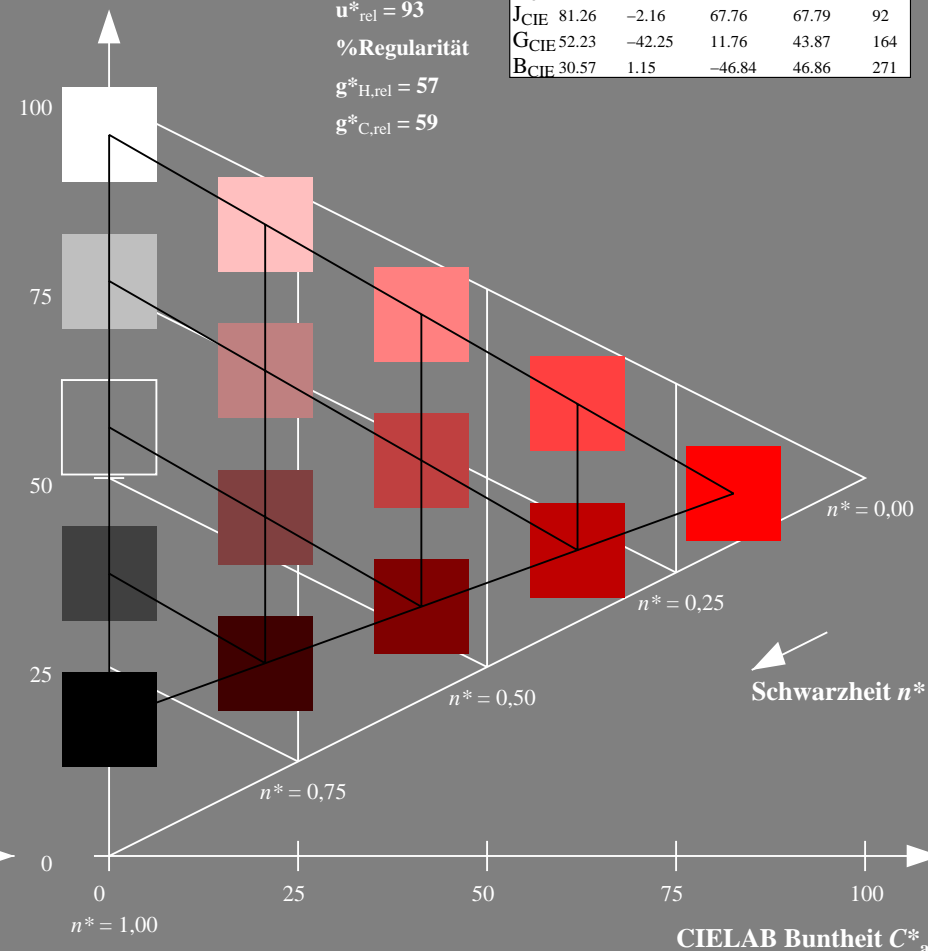
 $u^*_{rel} = 93$ 

%Regularität

 $g^*_{H,rel} = 57$  $g^*_{C,rel} = 59$ 

ORS18; adaptierte CIELAB-Daten

	$L^*=L^*_a$	$a^*_a$	$b^*_a$	$C^*_{ab,a}$	$h^*_{ab,a}$
O <sub>m</sub>	47.94	65.39	50.52	82.63	38
Y <sub>m</sub>	90.37	-10.26	91.75	92.32	96
L <sub>m</sub>	50.9	-62.83	34.96	71.91	151
C <sub>m</sub>	58.62	-30.34	-45.01	54.3	236
V <sub>m</sub>	25.72	31.1	-44.4	54.22	305
M <sub>m</sub>	48.13	75.28	-8.36	75.74	354
N <sub>m</sub>	18.01	0.0	0.0	0.0	0
W <sub>m</sub>	95.41	0.0	0.0	0.0	0
R <sub>CIE</sub>	39.92	58.66	26.98	64.57	25
J <sub>CIE</sub>	81.26	-2.16	67.76	67.79	92
G <sub>CIE</sub>	52.23	-42.25	11.76	43.87	164
B <sub>CIE</sub>	30.57	1.15	-46.84	46.86	271



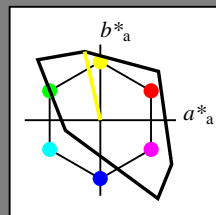
5 stufige Reihen für konstanten CIELAB Buntton 38/360 = 0.105 (rechts)



Eingabe: Farbmétrisches Fernseh-Licht-System TLS00

für Buntton  $h^* = lab^*h = 103/360 = 0.286$   
 $lab^*tch$  und  $lab^*nch$

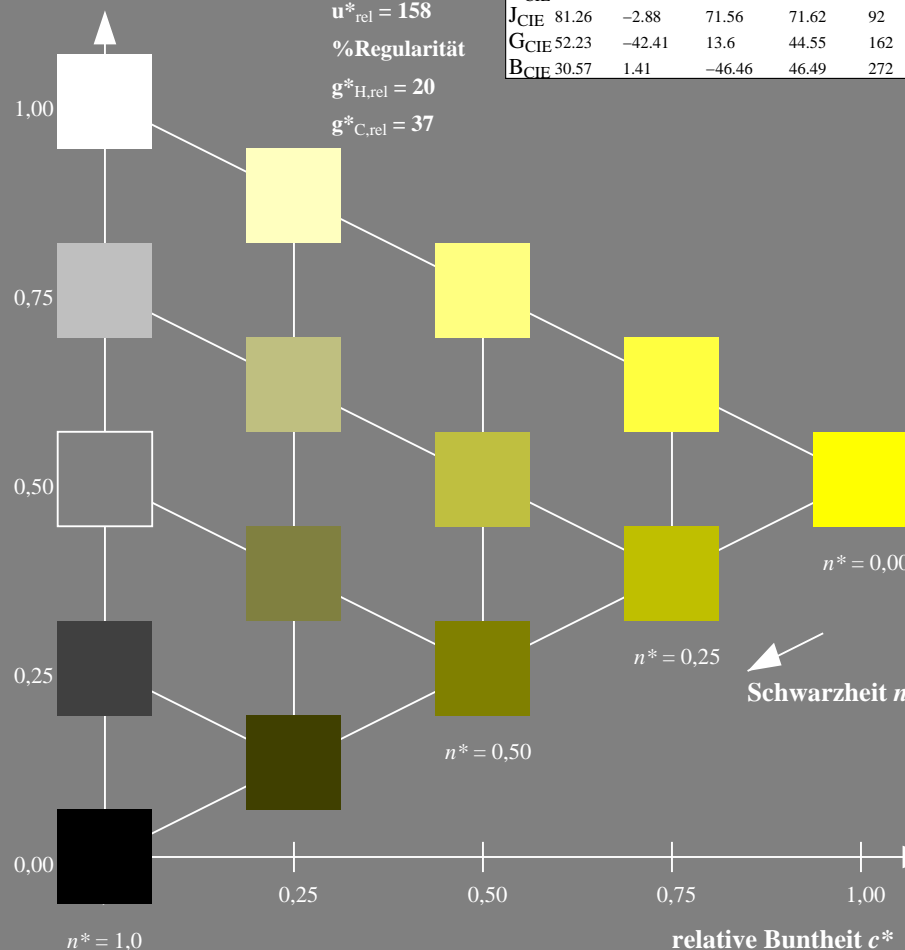
D65: Buntton Y  
LCH\*Ma: 93 93 103  
olv\*Ma: 1.0 1.0 0.0



TLS00; adaptierte CIELAB-Daten					
	$L^*=L^*_a$	$a^*_a$	$b^*_a$	$C^*_{ab,a}$	$h^*_{ab,a}$
O <sub>m</sub>	50.5	76.92	64.55	100.42	40
Y <sub>m</sub>	92.66	-20.69	90.75	93.08	103
L <sub>m</sub>	83.63	-82.75	79.9	115.04	136
C <sub>m</sub>	86.88	-46.16	-13.55	48.12	196
V <sub>m</sub>	30.39	76.06	-103.59	128.52	306
M <sub>m</sub>	57.3	94.35	-58.41	110.97	328
N <sub>m</sub>	0.01	0.0	0.0	0.0	0
W <sub>m</sub>	95.41	0.0	0.0	0.0	0
R <sub>CIE</sub>	39.92	58.74	27.99	65.07	25
J <sub>CIE</sub>	81.26	-2.88	71.56	71.62	92
G <sub>CIE</sub>	52.23	-42.41	13.6	44.55	162
B <sub>CIE</sub>	30.57	1.41	-46.46	46.49	272

Dreiecks-Helligkeit  $t^*$

%Umfang  
 $u^*_{rel} = 158$   
%Regularität  
 $g^*_{H,rel} = 20$   
 $g^*_{C,rel} = 37$

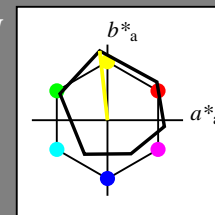


NG250-7, 5 stufige Reihen für konstanten CIELAB Buntton  $103/360 = 0.286$  (links)

Ausgabe: Farbmétrisches Offset-Reflektiv-System ORS18

für Buntton  $h^* = lab^*h = 96/360 = 0.268$   
 $LAB^*LCH$ ,  $LAB^*NCH$

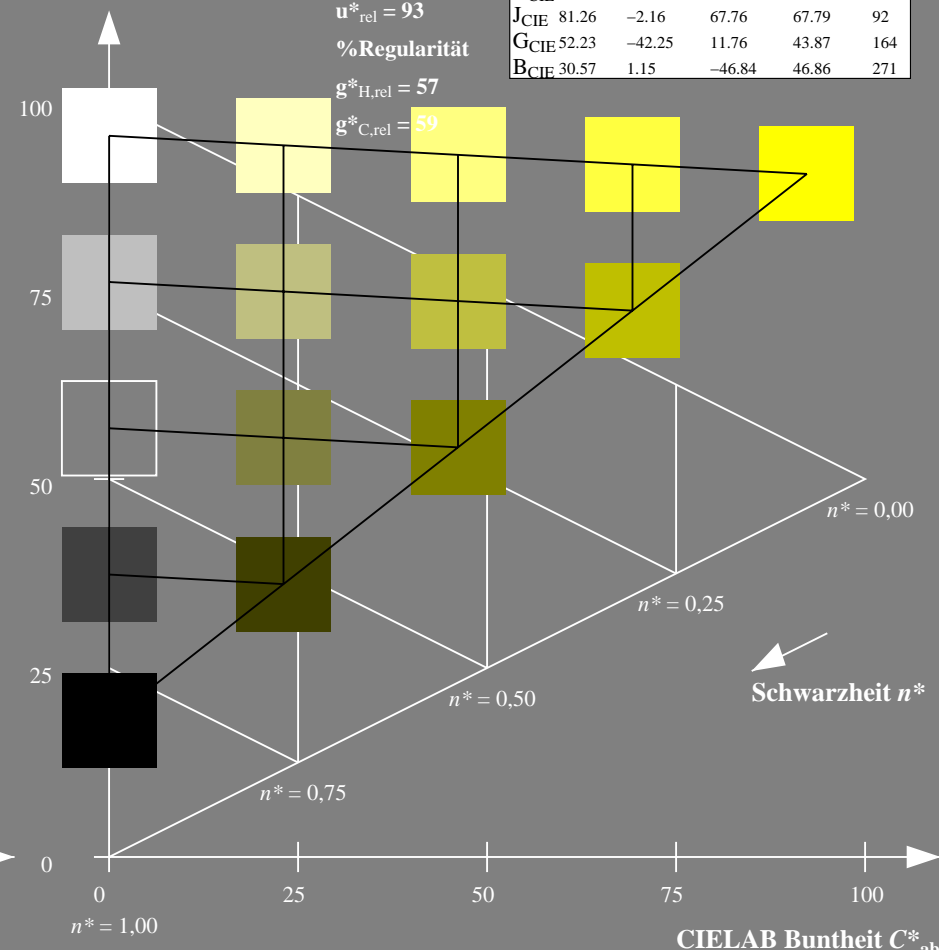
D65: Buntton Y  
LCH\*Ma: 90 92 96  
olv\*Ma: 1.0 1.0 0.0



ORS18; adaptierte CIELAB-Daten					
	$L^*=L^*_a$	$a^*_a$	$b^*_a$	$C^*_{ab,a}$	$h^*_{ab,a}$
O <sub>m</sub>	47.94	65.39	50.52	82.63	38
Y <sub>m</sub>	90.37	-10.26	91.75	92.32	96
L <sub>m</sub>	50.9	-62.83	34.96	71.91	151
C <sub>m</sub>	58.62	-30.34	-45.01	54.3	236
V <sub>m</sub>	25.72	31.1	-44.4	54.22	305
M <sub>m</sub>	48.13	75.28	-8.36	75.74	354
N <sub>m</sub>	18.01	0.0	0.0	0.0	0
W <sub>m</sub>	95.41	0.0	0.0	0.0	0
R <sub>CIE</sub>	39.92	58.66	26.98	64.57	25
J <sub>CIE</sub>	81.26	-2.16	67.76	67.79	92
G <sub>CIE</sub>	52.23	-42.25	11.76	43.87	164
B <sub>CIE</sub>	30.57	1.15	-46.84	46.86	271

CIELAB-Helligkeit  $L^*$

%Umfang  
 $u^*_{rel} = 93$   
%Regularität  
 $g^*_{H,rel} = 57$   
 $g^*_{C,rel} = 59$



5 stufige Reihen für konstanten CIELAB Buntton  $96/360 = 0.268$  (rechts)

BAM-Prüfvorlage NG25; Farbmétrik-Systeme ORS18 & ORS18input:  $olv^*setrgbcolor$

D65: Koordinatensysteme; 5stufige Farbreihen für 10 Bunttöne output: *Startup (S) data dependend*

Eingabe: Farbmétrisches Fernseh-Licht-System TLS00

für Buntton  $h^* = lab^*h = 136/360 = 0.378$  $lab^*tch$  und  $lab^*nch$ 

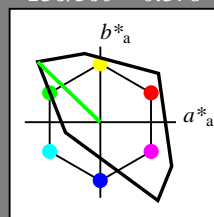
D65: Buntton L

LCH\*Ma: 84 115 136

olv\*Ma: 0.0 1.0 0.0

TLS00; adaptierte CIELAB-Daten

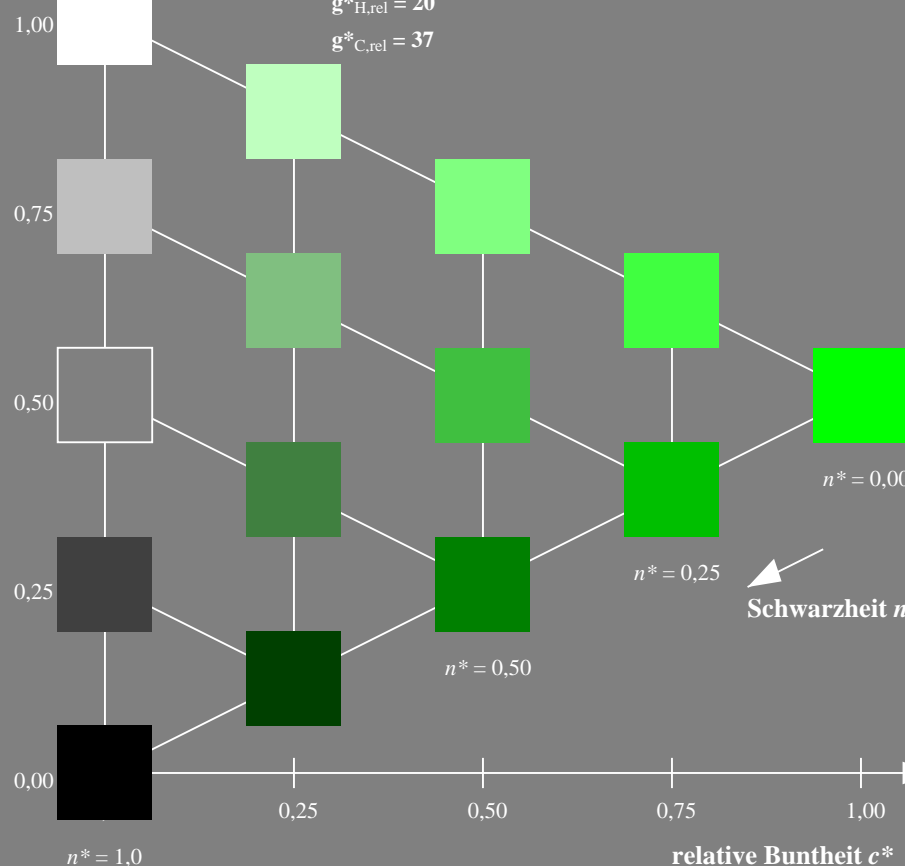
	$L^*=L^*_a$	$a^*_a$	$b^*_a$	$C^*_{ab,a}$	$h^*_{ab,a}$
O <sub>m</sub>	50.5	76.92	64.55	100.42	40
Y <sub>m</sub>	92.66	-20.69	90.75	93.08	103
L <sub>m</sub>	83.63	-82.75	79.9	115.04	136
C <sub>m</sub>	86.88	-46.16	-13.55	48.12	196
V <sub>m</sub>	30.39	76.06	-103.59	128.52	306
M <sub>m</sub>	57.3	94.35	-58.41	110.97	328
N <sub>m</sub>	0.01	0.0	0.0	0.0	0
W <sub>m</sub>	95.41	0.0	0.0	0.0	0
R <sub>CIE</sub>	39.92	58.74	27.99	65.07	25
J <sub>CIE</sub>	81.26	-2.88	71.56	71.62	92
G <sub>CIE</sub>	52.23	-42.41	13.6	44.55	162
B <sub>CIE</sub>	30.57	1.41	-46.46	46.49	272

Dreiecks-Helligkeit  $t^*$ 

%Umfang

 $u^*_{rel} = 158$ 

%Regularität

 $g^*_{H,rel} = 20$  $g^*_{C,rel} = 37$ NG250-7, 5 stufige Reihen für konstanten CIELAB Buntton  $136/360 = 0.378$  (links)

BAM-Prüfvorlage NG25; Farbmétrik-Systeme ORS18 &amp; ORS18input: olv\* setrgbcolor

D65: Koordinatensysteme; 5stufige Farbreihen für 10 Bunttöne output: Startup (S) data dependend

Ausgabe: Farbmétrisches Offset-Reflektiv-System ORS18

für Buntton  $h^* = lab^*h = 151/360 = 0.419$  $LAB^*LCH, LAB^*NCH$ 

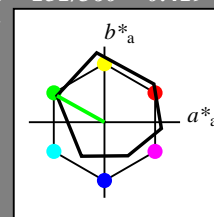
D65: Buntton L

LCH\*Ma: 51 72 151

olv\*Ma: 0.0 1.0 0.0

ORS18; adaptierte CIELAB-Daten

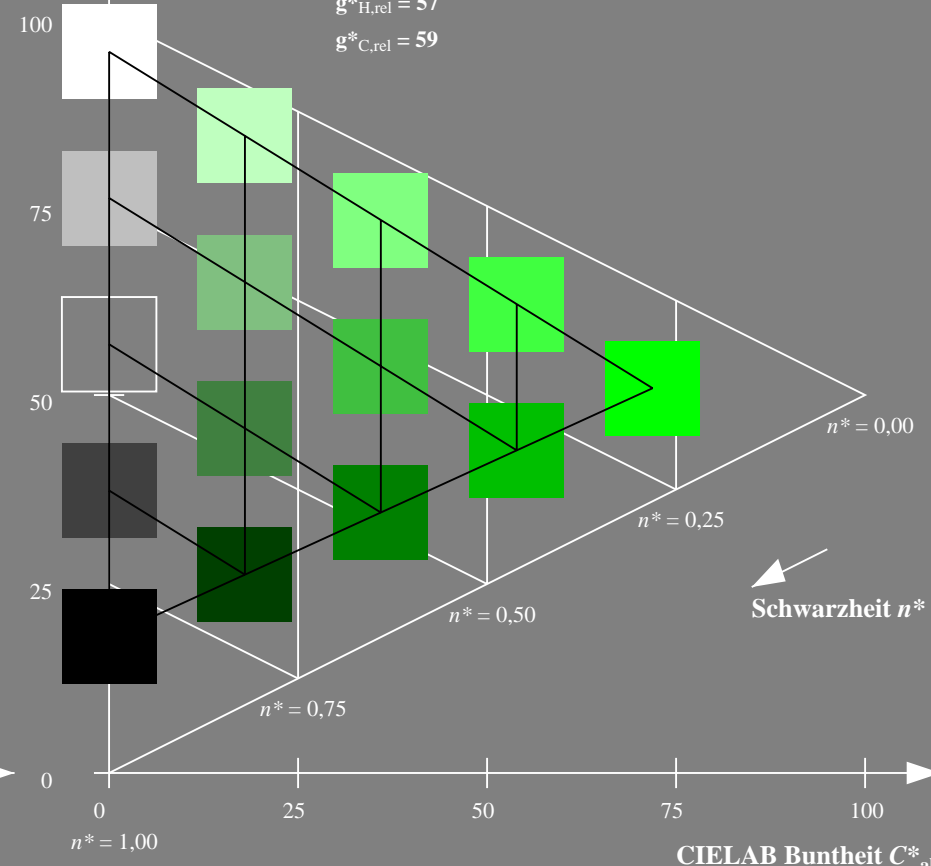
	$L^*=L^*_a$	$a^*_a$	$b^*_a$	$C^*_{ab,a}$	$h^*_{ab,a}$
O <sub>m</sub>	47.94	65.39	50.52	82.63	38
Y <sub>m</sub>	90.37	-10.26	91.75	92.32	96
L <sub>m</sub>	50.9	-62.83	34.96	71.91	151
C <sub>m</sub>	58.62	-30.34	-45.01	54.3	236
V <sub>m</sub>	25.72	31.1	-44.4	54.22	305
M <sub>m</sub>	48.13	75.28	-8.36	75.74	354
N <sub>m</sub>	18.01	0.0	0.0	0.0	0
W <sub>m</sub>	95.41	0.0	0.0	0.0	0
R <sub>CIE</sub>	39.92	58.66	26.98	64.57	25
J <sub>CIE</sub>	81.26	-2.16	67.76	67.79	92
G <sub>CIE</sub>	52.23	-42.25	11.76	43.87	164
B <sub>CIE</sub>	30.57	1.15	-46.84	46.86	271

CIELAB-Helligkeit  $L^*$ 

%Umfang

 $u^*_{rel} = 93$ 

%Regularität

 $g^*_{H,rel} = 57$  $g^*_{C,rel} = 59$ 5 stufige Reihen für konstanten CIELAB Buntton  $151/360 = 0.419$  (rechts)

Eingabe: Farbmétrisches Fernseh-Licht-System TLS00

für Buntton  $h^* = lab^*h = 196/360 = 0.545$  $lab^*tch$  und  $lab^*nch$ 

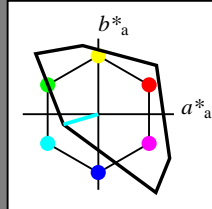
D65: Buntton C

LCH\*Ma: 87 48 196

olv\*Ma: 0.0 1.0 1.0

TLS00; adaptierte CIELAB-Daten

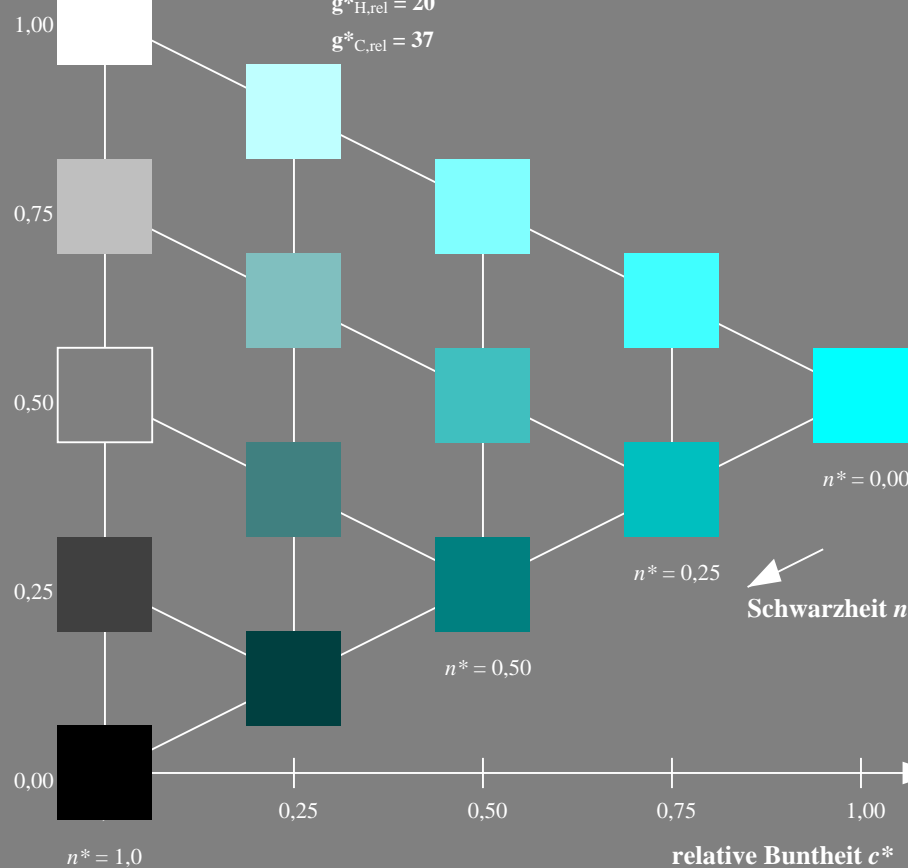
	$L^*=L^*_a$	$a^*_a$	$b^*_a$	$C^*_{ab,a}$	$h^*_{ab,a}$
O <sub>m</sub>	50.5	76.92	64.55	100.42	40
Y <sub>m</sub>	92.66	-20.69	90.75	93.08	103
L <sub>m</sub>	83.63	-82.75	79.9	115.04	136
C <sub>m</sub>	86.88	-46.16	-13.55	48.12	196
V <sub>m</sub>	30.39	76.06	-103.59	128.52	306
M <sub>m</sub>	57.3	94.35	-58.41	110.97	328
N <sub>m</sub>	0.01	0.0	0.0	0.0	0
W <sub>m</sub>	95.41	0.0	0.0	0.0	0
R <sub>CIE</sub>	39.92	58.74	27.99	65.07	25
J <sub>CIE</sub>	81.26	-2.88	71.56	71.62	92
G <sub>CIE</sub>	52.23	-42.41	13.6	44.55	162
B <sub>CIE</sub>	30.57	1.41	-46.46	46.49	272

Dreiecks-Helligkeit  $t^*$ 

%Umfang

 $u^*_{rel} = 158$ 

%Regularität

 $g^*_{H,rel} = 20$  $g^*_{C,rel} = 37$ 

NG250-7, 5 stufige Reihen für konstanten CIELAB Buntton 196/360 = 0.545 (links)

Ausgabe: Farbmétrisches Offset-Reflektiv-System ORS18

für Buntton  $h^* = lab^*h = 236/360 = 0.656$  $LAB^*LCH, LAB^*NCH$ 

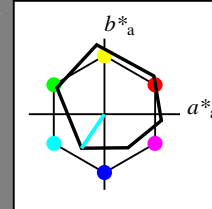
D65: Buntton C

LCH\*Ma: 59 54 236

olv\*Ma: 0.0 1.0 1.0

ORS18; adaptierte CIELAB-Daten

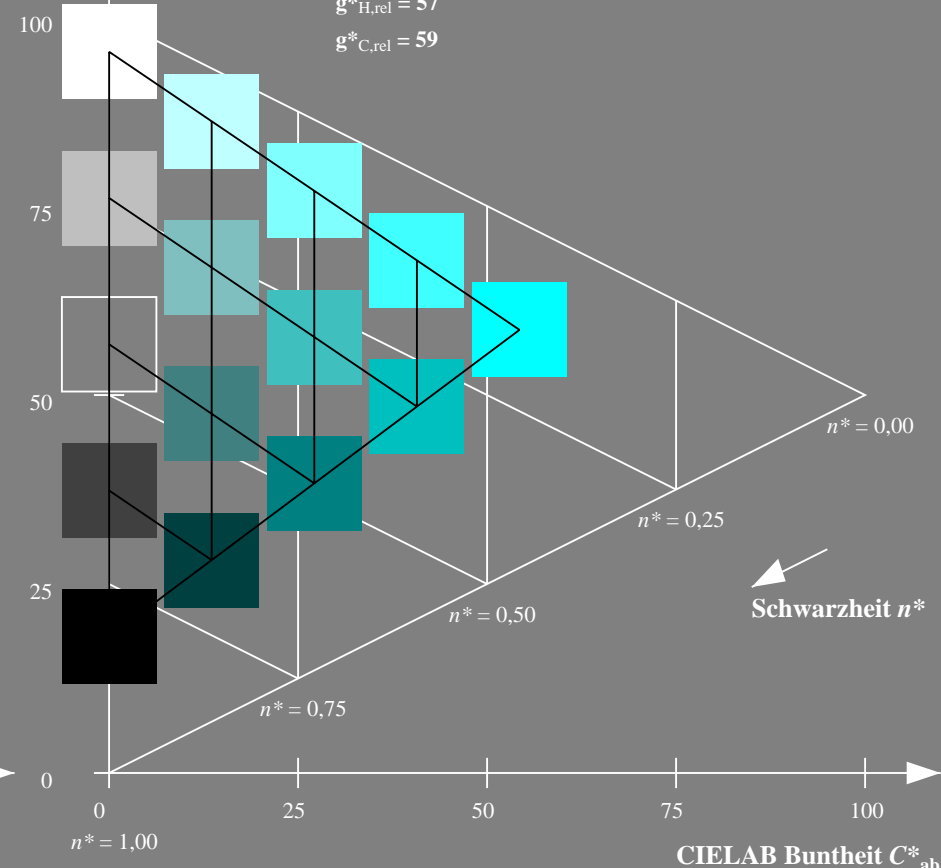
	$L^*=L^*_a$	$a^*_a$	$b^*_a$	$C^*_{ab,a}$	$h^*_{ab,a}$
O <sub>m</sub>	47.94	65.39	50.52	82.63	38
Y <sub>m</sub>	90.37	-10.26	91.75	92.32	96
L <sub>m</sub>	50.9	-62.83	34.96	71.91	151
C <sub>m</sub>	58.62	-30.34	-45.01	54.3	236
V <sub>m</sub>	25.72	31.1	-44.4	54.22	305
M <sub>m</sub>	48.13	75.28	-8.36	75.74	354
N <sub>m</sub>	18.01	0.0	0.0	0.0	0
W <sub>m</sub>	95.41	0.0	0.0	0.0	0
R <sub>CIE</sub>	39.92	58.66	26.98	64.57	25
J <sub>CIE</sub>	81.26	-2.16	67.76	67.79	92
G <sub>CIE</sub>	52.23	-42.25	11.76	43.87	164
B <sub>CIE</sub>	30.57	1.15	-46.84	46.86	271

CIELAB-Helligkeit  $L^*$ 

%Umfang

 $u^*_{rel} = 93$ 

%Regularität

 $g^*_{H,rel} = 57$  $g^*_{C,rel} = 59$ 

5 stufige Reihen für konstanten CIELAB Buntton 236/360 = 0.656 (rechts)

BAM-Prüfvorlage NG25; Farbmétrik-Systeme ORS18 &amp; ORS18input: olv\* setrgbcolor

D65: Koordinatensysteme; 5stufige Farbreihen für 10 Bunttöne output: Startup (S) data dependend

Eingabe: Farbmétrisches Fernseh-Licht-System TLS00

für Buntton  $h^* = lab^*h = 306/360 = 0.851$  $lab^*tch$  und  $lab^*nch$ 

D65: Buntton V

LCH\*Ma: 30 129 306

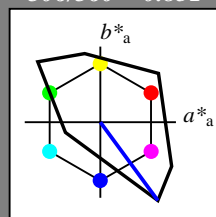
olv\*Ma: 0.0 0.0 1.0

Dreiecks-Helligkeit  $t^*$ 

%Umfang

 $u^*_{rel} = 158$ 

%Regularität

 $g^*_{H,rel} = 20$  $g^*_{C,rel} = 37$ 

TLS00; adaptierte CIELAB-Daten

	$L^*=L^*_a$	$a^*_a$	$b^*_a$	$C^*_{ab,a}$	$h^*_{ab,a}$
O <sub>m</sub>	50.5	76.92	64.55	100.42	40
Y <sub>m</sub>	92.66	-20.69	90.75	93.08	103
L <sub>m</sub>	83.63	-82.75	79.9	115.04	136
C <sub>m</sub>	86.88	-46.16	-13.55	48.12	196
V <sub>m</sub>	30.39	76.06	-103.59	128.52	306
M <sub>m</sub>	57.3	94.35	-58.41	110.97	328
N <sub>m</sub>	0.01	0.0	0.0	0.0	0
W <sub>m</sub>	95.41	0.0	0.0	0.0	0
R <sub>CIE</sub>	39.92	58.74	27.99	65.07	25
J <sub>CIE</sub>	81.26	-2.88	71.56	71.62	92
G <sub>CIE</sub>	52.23	-42.41	13.6	44.55	162
B <sub>CIE</sub>	30.57	1.41	-46.46	46.49	272

Ausgabe: Farbmétrisches Offset-Reflektiv-System ORS18

für Buntton  $h^* = lab^*h = 305/360 = 0.847$  $LAB^*LCH, LAB^*NCH$ 

D65: Buntton V

LCH\*Ma: 26 54 305

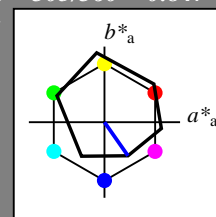
olv\*Ma: 0.0 0.0 1.0

CIELAB-Helligkeit  $L^*$ 

%Umfang

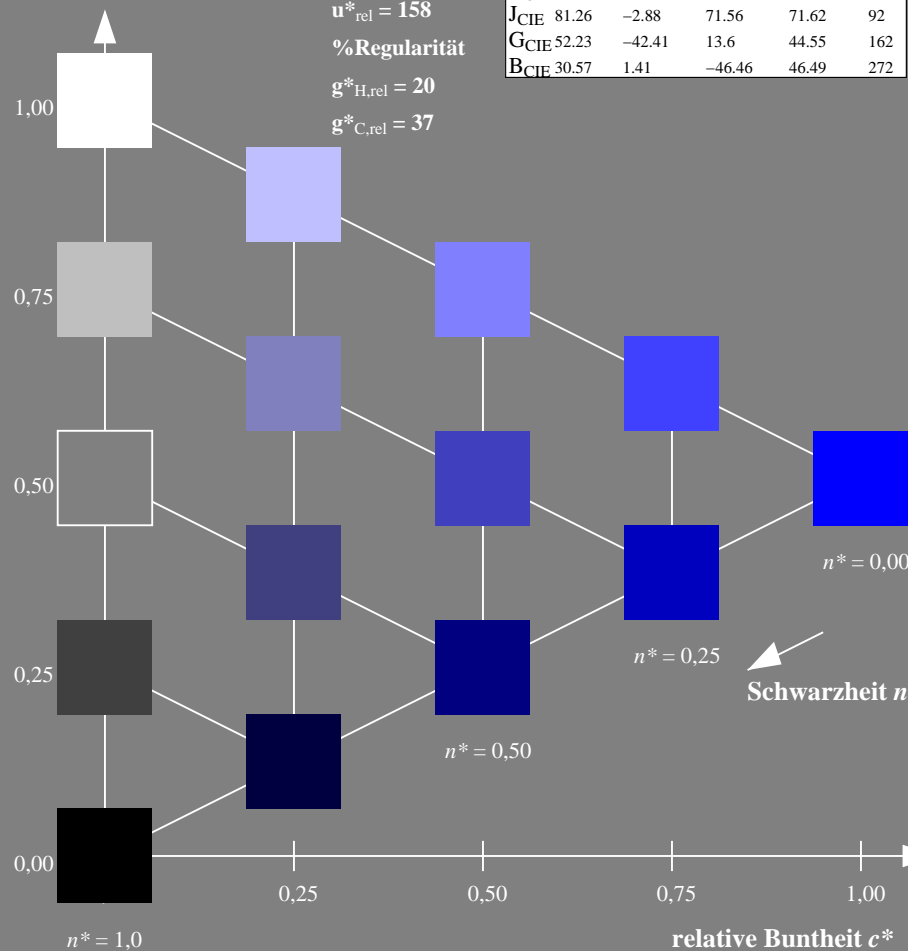
 $u^*_{rel} = 93$ 

%Regularität

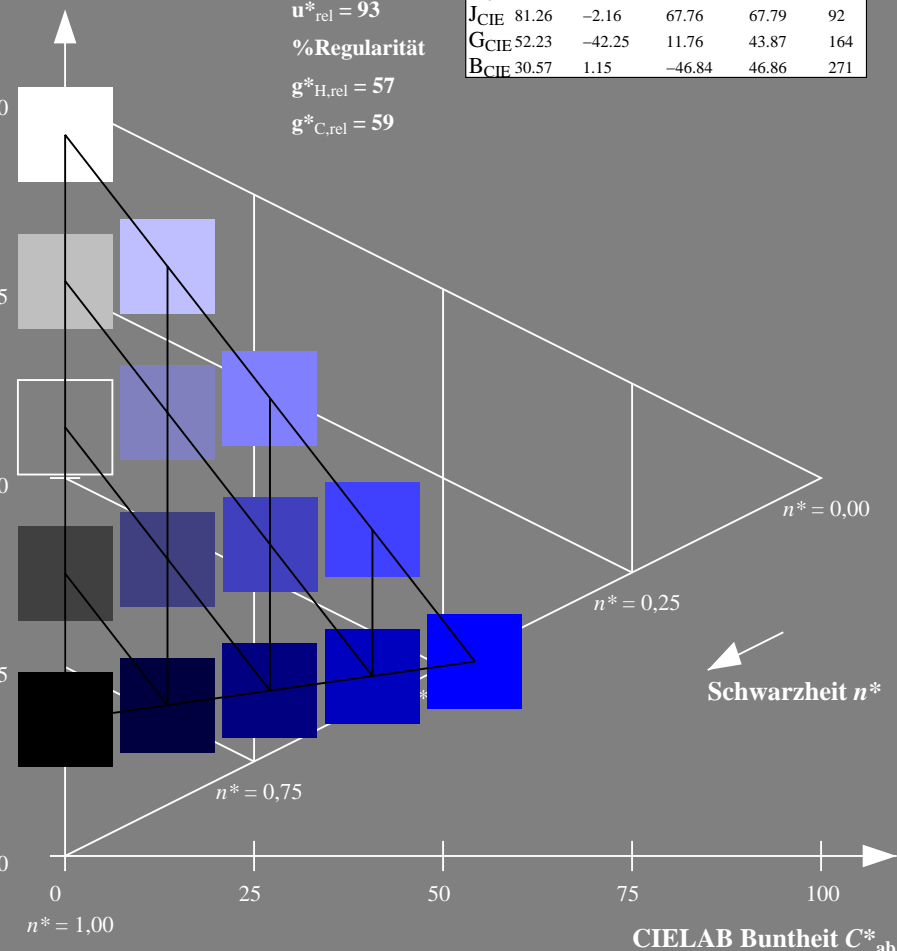
 $g^*_{H,rel} = 57$  $g^*_{C,rel} = 59$ 

ORS18; adaptierte CIELAB-Daten

	$L^*=L^*_a$	$a^*_a$	$b^*_a$	$C^*_{ab,a}$	$h^*_{ab,a}$
O <sub>m</sub>	47.94	65.39	50.52	82.63	38
Y <sub>m</sub>	90.37	-10.26	91.75	92.32	96
L <sub>m</sub>	50.9	-62.83	34.96	71.91	151
C <sub>m</sub>	58.62	-30.34	-45.01	54.3	236
V <sub>m</sub>	25.72	31.1	-44.4	54.22	305
M <sub>m</sub>	48.13	75.28	-8.36	75.74	354
N <sub>m</sub>	18.01	0.0	0.0	0.0	0
W <sub>m</sub>	95.41	0.0	0.0	0.0	0
R <sub>CIE</sub>	39.92	58.66	26.98	64.57	25
J <sub>CIE</sub>	81.26	-2.16	67.76	67.79	92
G <sub>CIE</sub>	52.23	-42.25	11.76	43.87	164
B <sub>CIE</sub>	30.57	1.15	-46.84	46.86	271



NG250-7, 5 stufige Reihen für konstanten CIELAB Buntton 306/360 = 0.851 (links)



5 stufige Reihen für konstanten CIELAB Buntton 305/360 = 0.847 (rechts)

BAM-Prüfvorlage NG25; Farbmétrik-Systeme ORS18 &amp; ORS18input: olv\* setrgbcolor

D65: Koordinatensysteme; 5stufige Farbreihen für 10 Bunttöne output: Startup (S) data dependend

Eingabe: Farbmétrisches Fernseh-Licht-System TLS00

für Buntton  $h^* = lab^*h = 328/360 = 0.912$  $lab^*tch$  und  $lab^*nch$ 

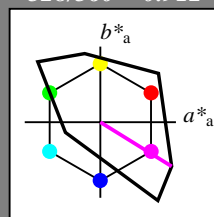
D65: Buntton M

LCH\*Ma: 57 111 328

olv\*Ma: 1.0 0.0 1.0

TLS00; adaptierte CIELAB-Daten

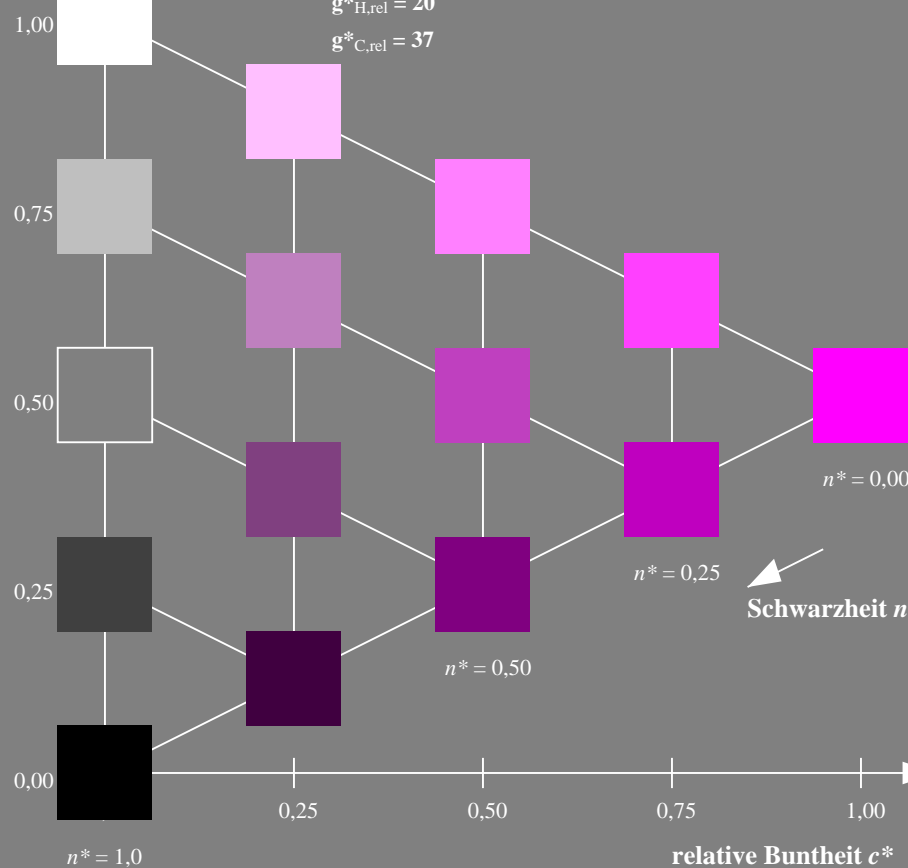
	$L^*=L^*_a$	$a^*_a$	$b^*_a$	$C^*_{ab,a}$	$h^*_{ab,a}$
O <sub>m</sub>	50.5	76.92	64.55	100.42	40
Y <sub>m</sub>	92.66	-20.69	90.75	93.08	103
L <sub>m</sub>	83.63	-82.75	79.9	115.04	136
C <sub>m</sub>	86.88	-46.16	-13.55	48.12	196
V <sub>m</sub>	30.39	76.06	-103.59	128.52	306
M <sub>m</sub>	57.3	94.35	-58.41	110.97	328
N <sub>m</sub>	0.01	0.0	0.0	0.0	0
W <sub>m</sub>	95.41	0.0	0.0	0.0	0
R <sub>CIE</sub>	39.92	58.74	27.99	65.07	25
J <sub>CIE</sub>	81.26	-2.88	71.56	71.62	92
G <sub>CIE</sub>	52.23	-42.41	13.6	44.55	162
B <sub>CIE</sub>	30.57	1.41	-46.46	46.49	272

Dreiecks-Helligkeit  $t^*$ 

%Umfang

 $u^*_{rel} = 158$ 

%Regularität

 $g^*_{H,rel} = 20$  $g^*_{C,rel} = 37$ 

NG250-7, 5 stufige Reihen für konstanten CIELAB Buntton 328/360 = 0.912 (links)

BAM-Prüfvorlage NG25; Farbmétrik-Systeme ORS18 &amp; ORS18input: olv\* setrgbcolor

D65: Koordinatensysteme; 5stufige Farbreihen für 10 Bunttöne output: Startup (S) data dependend

Ausgabe: Farbmétrisches Offset-Reflektiv-System ORS18

für Buntton  $h^* = lab^*h = 354/360 = 0.982$  $LAB^*LCH, LAB^*NCH$ 

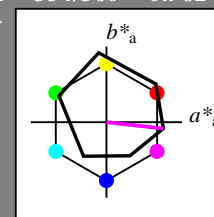
D65: Buntton M

LCH\*Ma: 48 76 354

olv\*Ma: 1.0 0.0 1.0

ORS18; adaptierte CIELAB-Daten

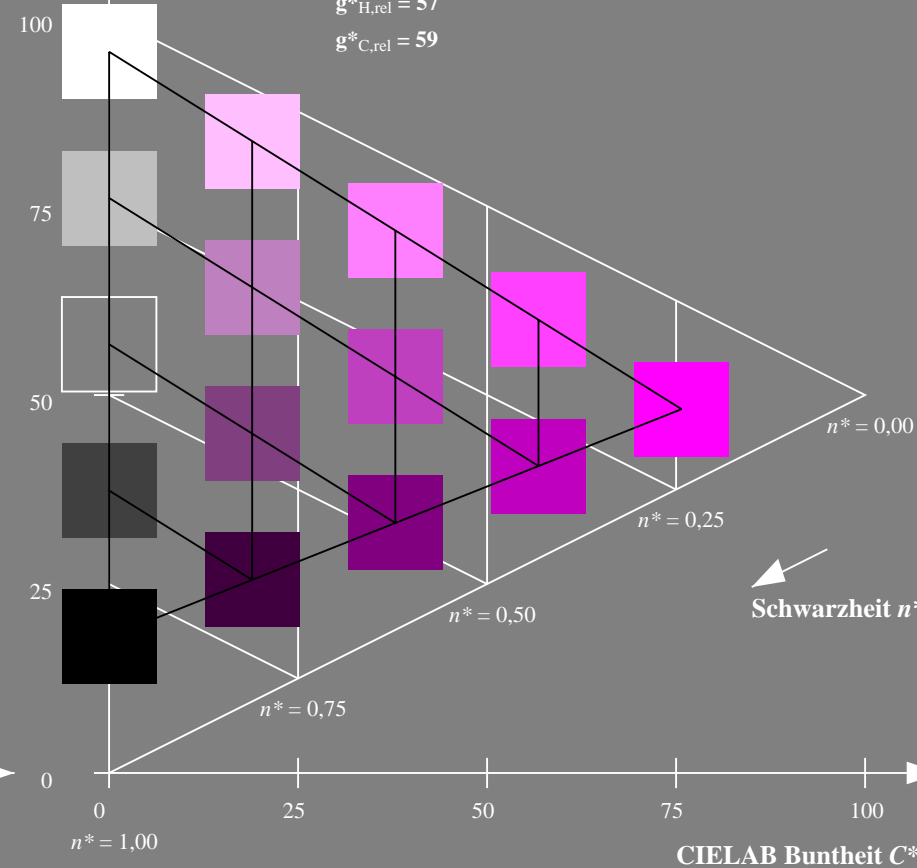
	$L^*=L^*_a$	$a^*_a$	$b^*_a$	$C^*_{ab,a}$	$h^*_{ab,a}$
O <sub>m</sub>	47.94	65.39	50.52	82.63	38
Y <sub>m</sub>	90.37	-10.26	91.75	92.32	96
L <sub>m</sub>	50.9	-62.83	34.96	71.91	151
C <sub>m</sub>	58.62	-30.34	-45.01	54.3	236
V <sub>m</sub>	25.72	31.1	-44.4	54.22	305
M <sub>m</sub>	48.13	75.28	-8.36	75.74	354
N <sub>m</sub>	18.01	0.0	0.0	0.0	0
W <sub>m</sub>	95.41	0.0	0.0	0.0	0
R <sub>CIE</sub>	39.92	58.66	26.98	64.57	25
J <sub>CIE</sub>	81.26	-2.16	67.76	67.79	92
G <sub>CIE</sub>	52.23	-42.25	11.76	43.87	164
B <sub>CIE</sub>	30.57	1.15	-46.84	46.86	271

CIELAB-Helligkeit  $L^*$ 

%Umfang

 $u^*_{rel} = 93$ 

%Regularität

 $g^*_{H,rel} = 57$  $g^*_{C,rel} = 59$ 

5 stufige Reihen für konstanten CIELAB Buntton 354/360 = 0.982 (rechts)

Eingabe: Farbmétrisches Fernseh-Licht-System TLS00

für Buntton  $h^* = lab^*h = 25/360 = 0.071$  $lab^*tch$  und  $lab^*nch$ 

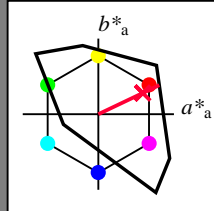
D65: Buntton R

LCH\*Ma: 52 89 25

olv\*Ma: 1.0 0.0 0.21

TLS00; adaptierte CIELAB-Daten

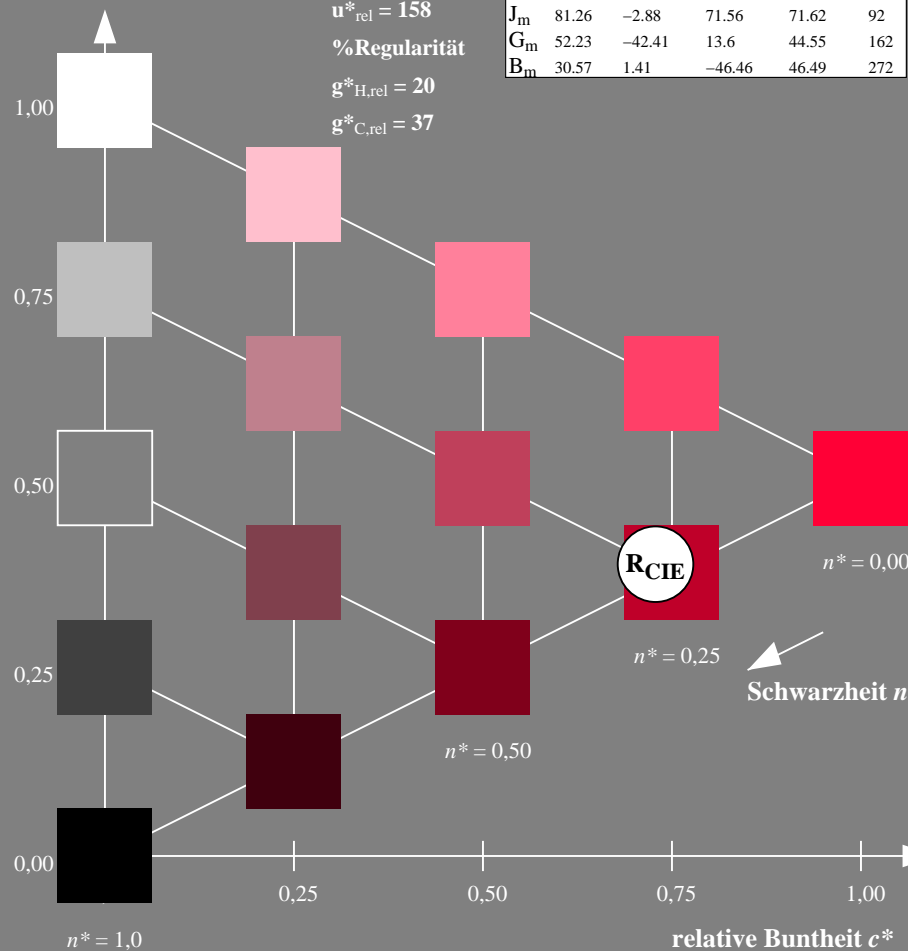
	$L^*=L^*_a$	$a^*_a$	$b^*_a$	$C^*_{ab,a}$	$h^*_{ab,a}$
O <sub>m</sub>	50.5	76.92	64.55	100.42	40
Y <sub>m</sub>	92.66	-20.69	90.75	93.08	103
L <sub>m</sub>	83.63	-82.75	79.9	115.04	136
C <sub>m</sub>	86.88	-46.16	-13.55	48.12	196
V <sub>m</sub>	30.39	76.06	-103.59	128.52	306
M <sub>m</sub>	57.3	94.35	-58.41	110.97	328
N <sub>m</sub>	0.01	0.0	0.0	0.0	0
W <sub>m</sub>	95.41	0.0	0.0	0.0	0
R <sub>m</sub>	39.92	58.74	27.99	65.07	25
J <sub>m</sub>	81.26	-2.88	71.56	71.62	92
G <sub>m</sub>	52.23	-42.41	13.6	44.55	162
B <sub>m</sub>	30.57	1.41	-46.46	46.49	272

Dreiecks-Helligkeit  $t^*$ 

%Umfang

 $u^*_{rel} = 158$ 

%Regularität

 $g^*_{H,rel} = 20$  $g^*_{C,rel} = 37$ 

NG250-7, 5 stufige Reihen für konstanten CIELAB Buntton 25/360 = 0.071 (links)

BAM-Prüfvorlage NG25; Farbmétrik-Systeme ORS18 &amp; ORS18input: olv\* setrgbcolor

D65: Koordinatensysteme; 5stufige Farbreihen für 10 Bunttöne output: Startup (S) data dependend

Ausgabe: Farbmétrisches Offset-Reflektiv-System ORS18

für Buntton  $h^* = lab^*h = 25/360 = 0.069$  $LAB^*LCH, LAB^*NCH$ 

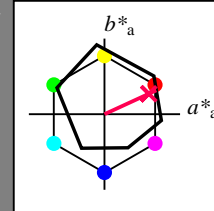
D65: Buntton R

LCH\*Ma: 48 75 25

olv\*Ma: 1.0 0.0 0.32

ORS18; adaptierte CIELAB-Daten

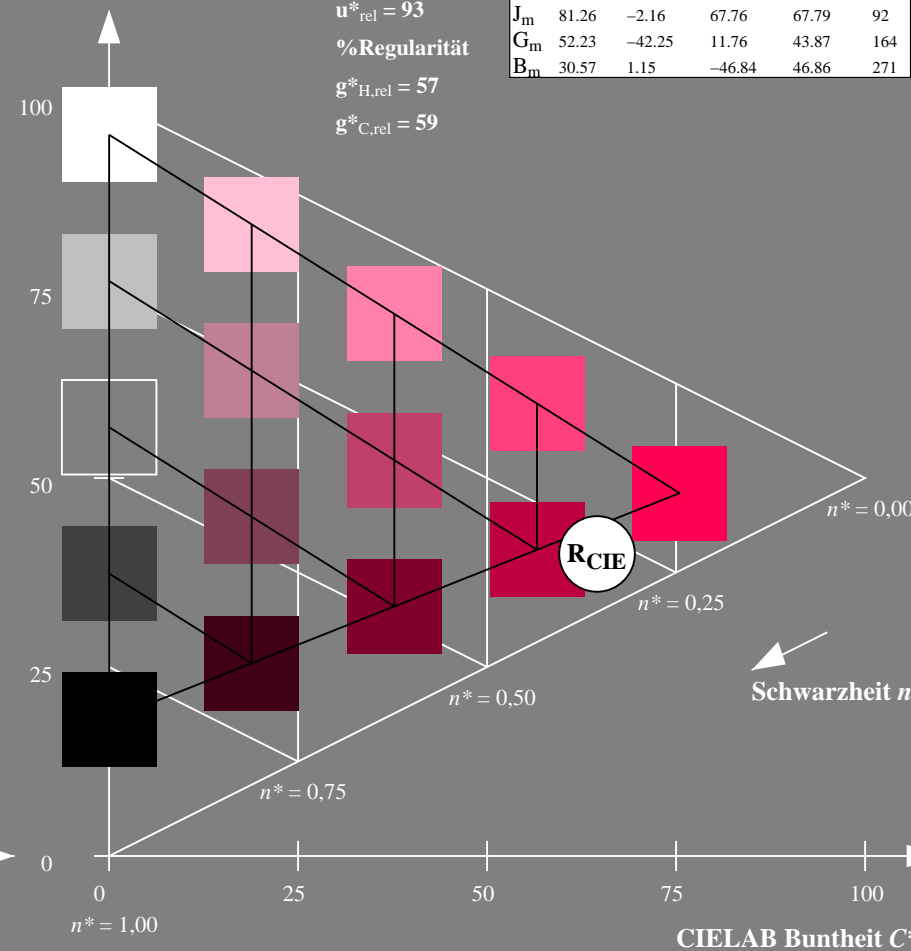
	$L^*=L^*_a$	$a^*_a$	$b^*_a$	$C^*_{ab,a}$	$h^*_{ab,a}$
O <sub>m</sub>	47.94	65.39	50.52	82.63	38
Y <sub>m</sub>	90.37	-10.26	91.75	92.32	96
L <sub>m</sub>	50.9	-62.83	34.96	71.91	151
C <sub>m</sub>	58.62	-30.34	-45.01	54.3	236
V <sub>m</sub>	25.72	31.1	-44.4	54.22	305
M <sub>m</sub>	48.13	75.28	-8.36	75.74	354
N <sub>m</sub>	18.01	0.0	0.0	0.0	0
W <sub>m</sub>	95.41	0.0	0.0	0.0	0
R <sub>m</sub>	39.92	58.66	26.98	64.57	25
J <sub>m</sub>	81.26	-2.16	67.76	67.79	92
G <sub>m</sub>	52.23	-42.25	11.76	43.87	164
B <sub>m</sub>	30.57	1.15	-46.84	46.86	271

CIELAB-Helligkeit  $L^*$ 

%Umfang

 $u^*_{rel} = 93$ 

%Regularität

 $g^*_{H,rel} = 57$  $g^*_{C,rel} = 59$ 

5 stufige Reihen für konstanten CIELAB Buntton 25/360 = 0.069 (rechts)



Eingabe: Farbmétrisches Fernseh-Licht-System TLS00

für Buntton  $h^* = lab^*h = 92/360 = 0.256$  $lab^*tch$  und  $lab^*nch$ 

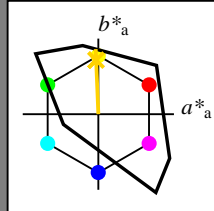
D65: Buntton J

LCH\*Ma: 85 86 92

olv\*Ma: 1.0 0.82 0.0

TLS00; adaptierte CIELAB-Daten

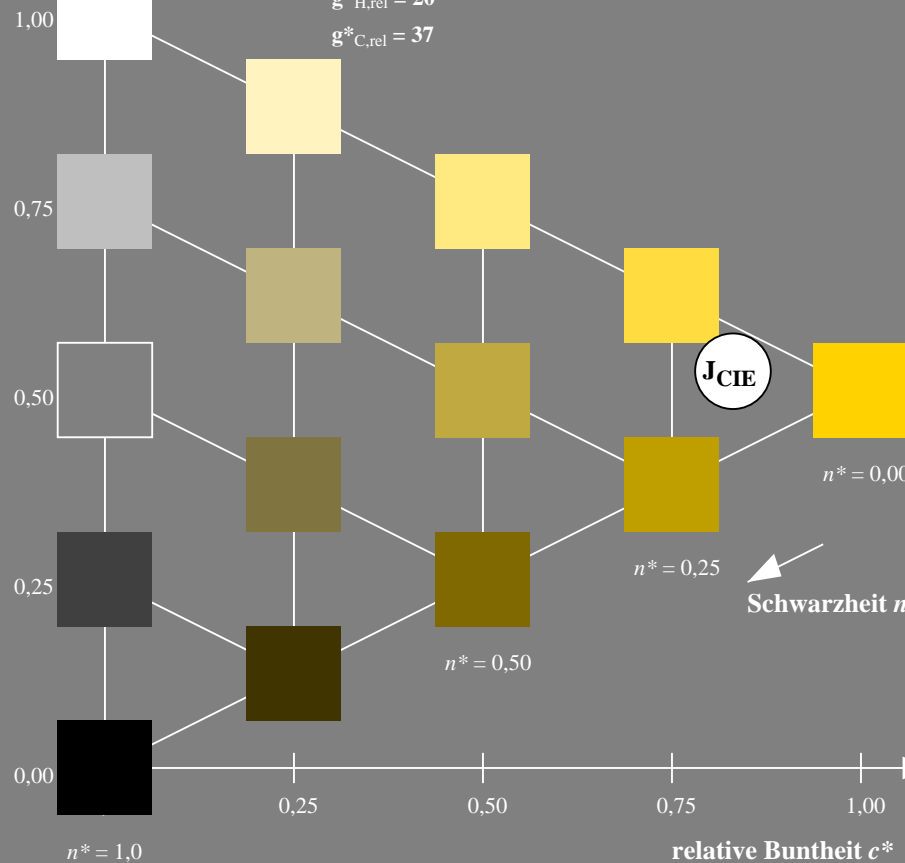
	$L^*=L^*_a$	$a^*_a$	$b^*_a$	$C^*_{ab,a}$	$h^*_{ab,a}$
O <sub>m</sub>	50.5	76.92	64.55	100.42	40
Y <sub>m</sub>	92.66	-20.69	90.75	93.08	103
L <sub>m</sub>	83.63	-82.75	79.9	115.04	136
C <sub>m</sub>	86.88	-46.16	-13.55	48.12	196
V <sub>m</sub>	30.39	76.06	-103.59	128.52	306
M <sub>m</sub>	57.3	94.35	-58.41	110.97	328
N <sub>m</sub>	0.01	0.0	0.0	0.0	0
W <sub>m</sub>	95.41	0.0	0.0	0.0	0
R <sub>m</sub>	39.92	58.74	27.99	65.07	25
J <sub>m</sub>	81.26	-2.88	71.56	71.62	92
G <sub>m</sub>	52.23	-42.41	13.6	44.55	162
B <sub>m</sub>	30.57	1.41	-46.46	46.49	272

Dreiecks-Helligkeit  $t^*$ 

%Umfang

 $u^*_{rel} = 158$ 

%Regularität

 $g^*_{H,rel} = 20$  $g^*_{C,rel} = 37$ 

NG250-7, 5 stufige Reihen für konstanten CIELAB Buntton 92/360 = 0.256 (links)

Ausgabe: Farbmétrisches Offset-Reflektiv-System ORS18

für Buntton  $h^* = lab^*h = 92/360 = 0.255$  $LAB^*LCH, LAB^*NCH$ 

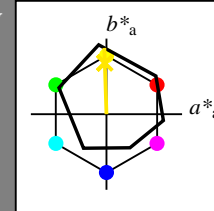
D65: Buntton J

LCH\*Ma: 86 88 92

olv\*Ma: 1.0 0.9 0.0

ORS18; adaptierte CIELAB-Daten

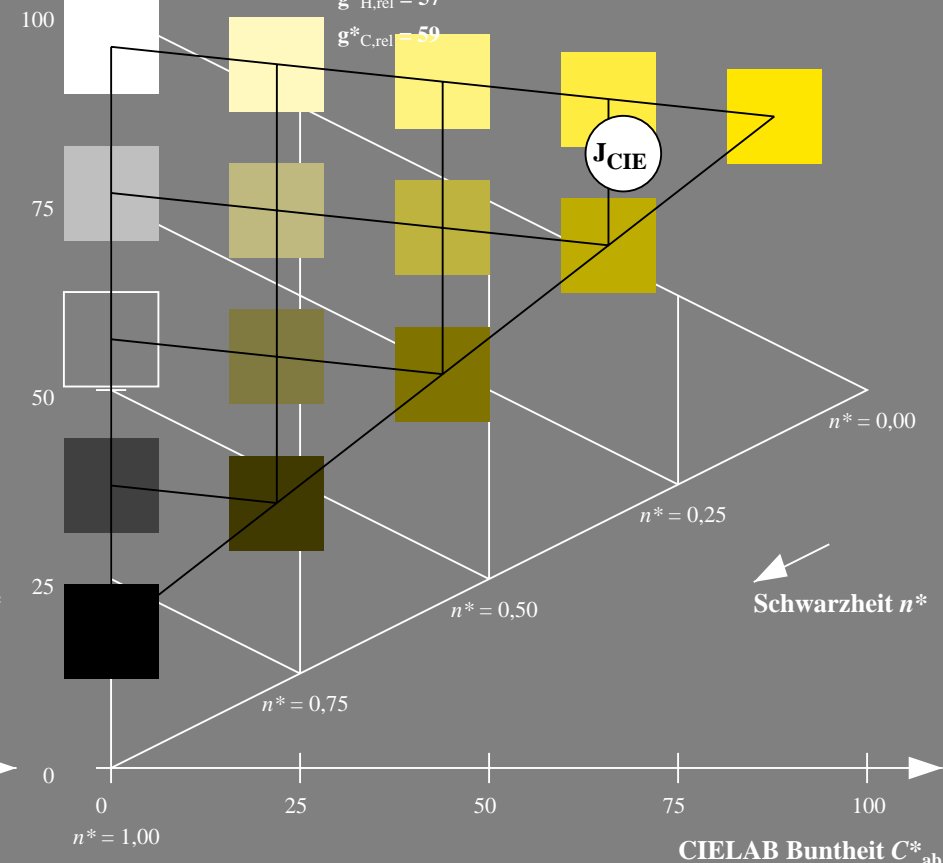
	$L^*=L^*_a$	$a^*_a$	$b^*_a$	$C^*_{ab,a}$	$h^*_{ab,a}$
O <sub>m</sub>	47.94	65.39	50.52	82.63	38
Y <sub>m</sub>	90.37	-10.26	91.75	92.32	96
L <sub>m</sub>	50.9	-62.83	34.96	71.91	151
C <sub>m</sub>	58.62	-30.34	-45.01	54.3	236
V <sub>m</sub>	25.72	31.1	-44.4	54.22	305
M <sub>m</sub>	48.13	75.28	-8.36	75.74	354
N <sub>m</sub>	18.01	0.0	0.0	0.0	0
W <sub>m</sub>	95.41	0.0	0.0	0.0	0
R <sub>m</sub>	39.92	58.66	26.98	64.57	25
J <sub>m</sub>	81.26	-2.16	67.76	67.79	92
G <sub>m</sub>	52.23	-42.25	11.76	43.87	164
B <sub>m</sub>	30.57	1.15	-46.84	46.86	271

CIELAB-Helligkeit  $L^*$ 

%Umfang

 $u^*_{rel} = 93$ 

%Regularität

 $g^*_{H,rel} = 57$  $g^*_{C,rel} = 59$ 

5 stufige Reihen für konstanten CIELAB Buntton 92/360 = 0.255 (rechts)

BAM-Prüfvorlage NG25; Farbmétrik-Systeme ORS18 &amp; ORS18input: olv\* setrgbcolor

D65: Koordinatensysteme; 5stufige Farbreihen für 10 Bunttöne output: Startup (S) data dependend



Eingabe: Farbmétrisches Fernseh-Licht-System TLS00

für Buntton  $h^* = lab^*h = 162/360 = 0.451$  $lab^*tch$  und  $lab^*nch$ 

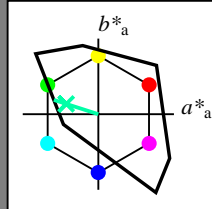
D65: Buntton G

LCH\*Ma: 86 62 162

olv\*Ma: 0.0 1.0 0.65

TLS00; adaptierte CIELAB-Daten

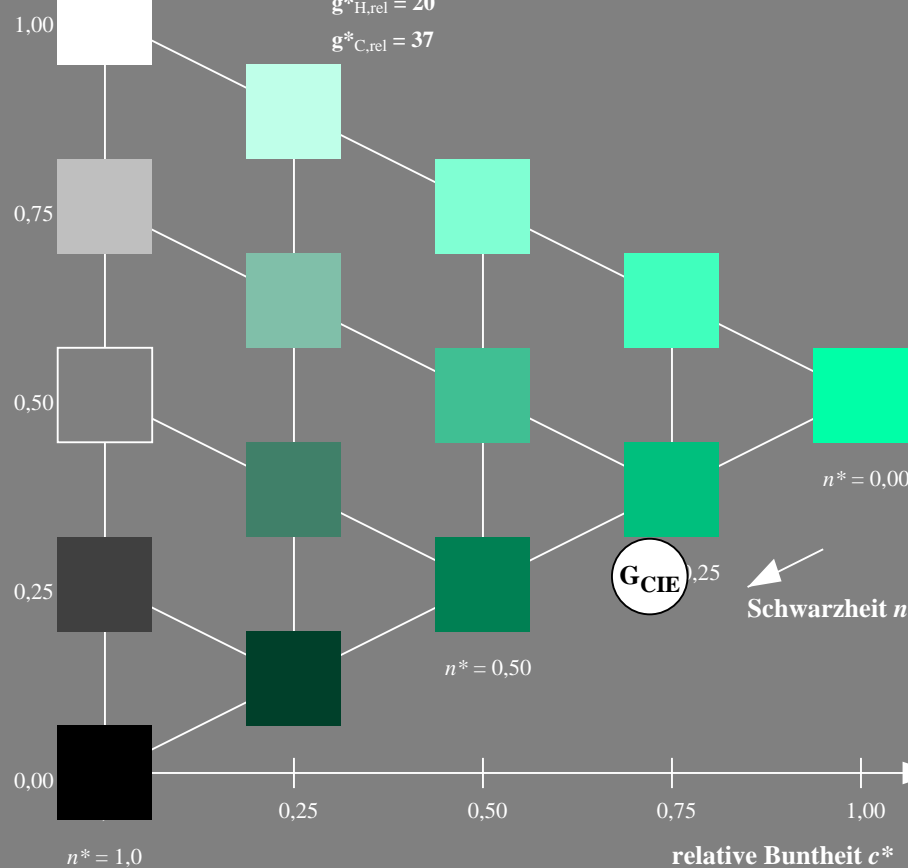
	$L^*=L^*_a$	$a^*_a$	$b^*_a$	$C^*_{ab,a}$	$h^*_{ab,a}$
O <sub>m</sub>	50.5	76.92	64.55	100.42	40
Y <sub>m</sub>	92.66	-20.69	90.75	93.08	103
L <sub>m</sub>	83.63	-82.75	79.9	115.04	136
C <sub>m</sub>	86.88	-46.16	-13.55	48.12	196
V <sub>m</sub>	30.39	76.06	-103.59	128.52	306
M <sub>m</sub>	57.3	94.35	-58.41	110.97	328
N <sub>m</sub>	0.01	0.0	0.0	0.0	0
W <sub>m</sub>	95.41	0.0	0.0	0.0	0
R <sub>m</sub>	39.92	58.74	27.99	65.07	25
J <sub>m</sub>	81.26	-2.88	71.56	71.62	92
G <sub>m</sub>	52.23	-42.41	13.6	44.55	162
B <sub>m</sub>	30.57	1.41	-46.46	46.49	272

Dreiecks-Helligkeit  $t^*$ 

%Umfang

 $u^*_{rel} = 158$ 

%Regularität

 $g^*_{H,rel} = 20$  $g^*_{C,rel} = 37$ NG250-7, 5 stufige Reihen für konstanten CIELAB Buntton  $162/360 = 0.451$  (links)

Ausgabe: Farbmétrisches Offset-Reflektiv-System ORS18

für Buntton  $h^* = lab^*h = 164/360 = 0.457$  $LAB^*LCH, LAB^*NCH$ 

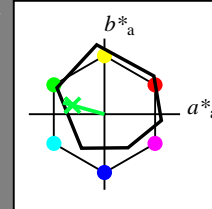
D65: Buntton G

LCH\*Ma: 53 57 164

olv\*Ma: 0.0 1.0 0.25

ORS18; adaptierte CIELAB-Daten

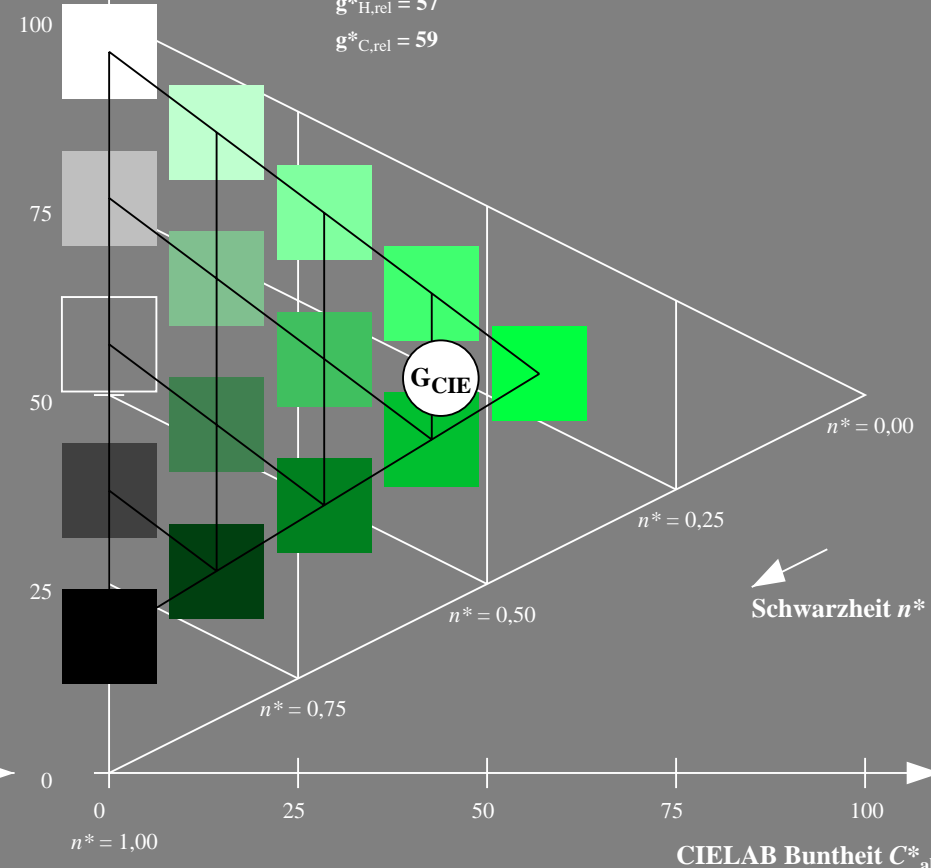
	$L^*=L^*_a$	$a^*_a$	$b^*_a$	$C^*_{ab,a}$	$h^*_{ab,a}$
O <sub>m</sub>	47.94	65.39	50.52	82.63	38
Y <sub>m</sub>	90.37	-10.26	91.75	92.32	96
L <sub>m</sub>	50.9	-62.83	34.96	71.91	151
C <sub>m</sub>	58.62	-30.34	-45.01	54.3	236
V <sub>m</sub>	25.72	31.1	-44.4	54.22	305
M <sub>m</sub>	48.13	75.28	-8.36	75.74	354
N <sub>m</sub>	18.01	0.0	0.0	0.0	0
W <sub>m</sub>	95.41	0.0	0.0	0.0	0
R <sub>m</sub>	39.92	58.66	26.98	64.57	25
J <sub>m</sub>	81.26	-2.16	67.76	67.79	92
G <sub>m</sub>	52.23	-42.25	11.76	43.87	164
B <sub>m</sub>	30.57	1.15	-46.84	46.86	271

CIELAB-Helligkeit  $L^*$ 

%Umfang

 $u^*_{rel} = 93$ 

%Regularität

 $g^*_{H,rel} = 57$  $g^*_{C,rel} = 59$ 5 stufige Reihen für konstanten CIELAB Buntton  $164/360 = 0.457$  (rechts)

BAM-Prüfvorlage NG25; Farbmétrik-Systeme ORS18 &amp; ORS18input: olv\* setrgbcolor

D65: Koordinatensysteme; 5stufige Farbreihen für 10 Bunttöne output: Startup (S) data dependend

Eingabe: Farbmatisches Fernseh-Licht-System TLS00

für Buntton  $h^* = lab^*h = 272/360 = 0.755$  $lab^*tch$  und  $lab^*nch$ 

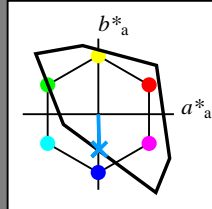
D65: Buntton B

LCH\*Ma: 65 49 272

olv\*Ma: 0.0 0.61 1.0

TLS00; adaptierte CIELAB-Daten

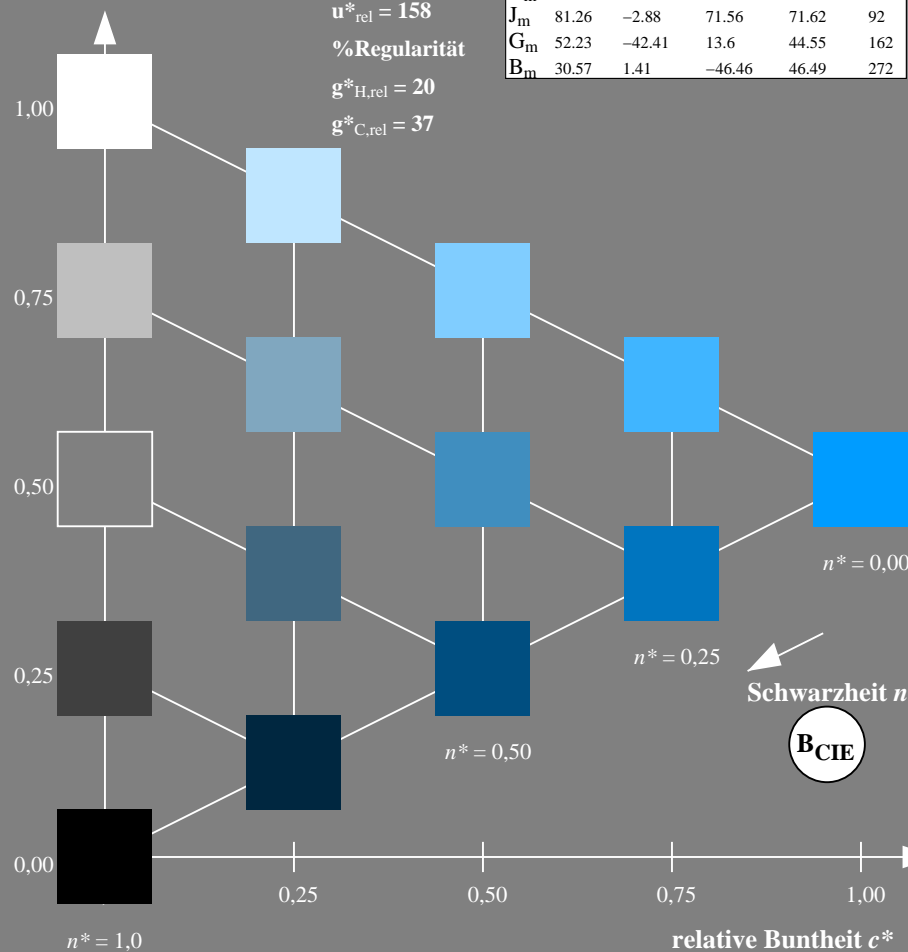
	$L^*=L^*_a$	$a^*_a$	$b^*_a$	$C^*_{ab,a}$	$h^*_{ab,a}$
O <sub>m</sub>	50.5	76.92	64.55	100.42	40
Y <sub>m</sub>	92.66	-20.69	90.75	93.08	103
L <sub>m</sub>	83.63	-82.75	79.9	115.04	136
C <sub>m</sub>	86.88	-46.16	-13.55	48.12	196
V <sub>m</sub>	30.39	76.06	-103.59	128.52	306
M <sub>m</sub>	57.3	94.35	-58.41	110.97	328
N <sub>m</sub>	0.01	0.0	0.0	0.0	0
W <sub>m</sub>	95.41	0.0	0.0	0.0	0
R <sub>m</sub>	39.92	58.74	27.99	65.07	25
J <sub>m</sub>	81.26	-2.88	71.56	71.62	92
G <sub>m</sub>	52.23	-42.41	13.6	44.55	162
B <sub>m</sub>	30.57	1.41	-46.46	46.49	272

Dreiecks-Helligkeit  $t^*$ 

%Umfang

 $u^*_{rel} = 158$ 

%Regularität

 $g^*_{H,rel} = 20$  $g^*_{C,rel} = 37$ NG250-7, 5 stufige Reihen für konstanten CIELAB Buntton  $272/360 = 0.755$  (links)

Ausgabe: Farbmatisches Offset-Reflektiv-System ORS18

für Buntton  $h^* = lab^*h = 271/360 = 0.754$  $LAB^*LCH, LAB^*NCH$ 

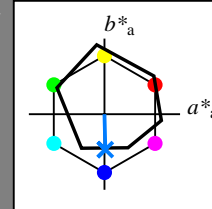
D65: Buntton B

LCH\*Ma: 42 45 271

olv\*Ma: 0.0 0.49 1.0

ORS18; adaptierte CIELAB-Daten

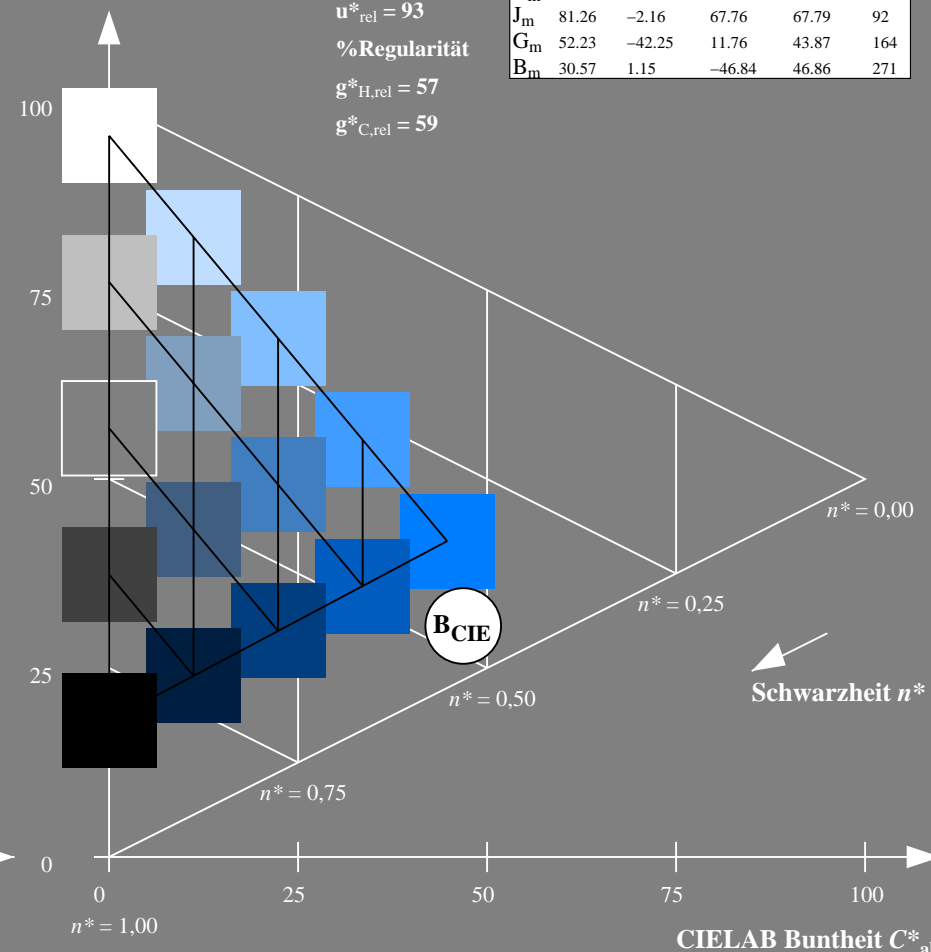
	$L^*=L^*_a$	$a^*_a$	$b^*_a$	$C^*_{ab,a}$	$h^*_{ab,a}$
O <sub>m</sub>	47.94	65.39	50.52	82.63	38
Y <sub>m</sub>	90.37	-10.26	91.75	92.32	96
L <sub>m</sub>	50.9	-62.83	34.96	71.91	151
C <sub>m</sub>	58.62	-30.34	-45.01	54.3	236
V <sub>m</sub>	25.72	31.1	-44.4	54.22	305
M <sub>m</sub>	48.13	75.28	-8.36	75.74	354
N <sub>m</sub>	18.01	0.0	0.0	0.0	0
W <sub>m</sub>	95.41	0.0	0.0	0.0	0
R <sub>m</sub>	39.92	58.66	26.98	64.57	25
J <sub>m</sub>	81.26	-2.16	67.76	67.79	92
G <sub>m</sub>	52.23	-42.25	11.76	43.87	164
B <sub>m</sub>	30.57	1.15	-46.84	46.86	271

CIELAB-Helligkeit  $L^*$ 

%Umfang

 $u^*_{rel} = 93$ 

%Regularität

 $g^*_{H,rel} = 57$  $g^*_{C,rel} = 59$ 5 stufige Reihen für konstanten CIELAB Buntton  $271/360 = 0.754$  (rechts)

BAM-Prüfvorlage NG25; Farbmatrik-Systeme ORS18 &amp; ORS18input: olv\* setrgbcolor

D65: Koordinatensysteme; 5stufige Farbreihen für 10 Bunttöne output: Startup (S) data dependend